



رشد تک بلور فلورید لیتیم با فعال سازهای منیزیم و هیدروکسید و بررسی ویژگی‌های نوری مراکز رنگی القا شده در اثر تابش یونیزان گاما

زهرا دروزیز^{*}، حیدر فری‌پور، حسین کلباسی، مجتبی اسماعیل‌نیا، راحله خطیری، اسماعیل جنتجو، نورالله علی‌اکبری
پژوهشکده‌ی لیزر و اپتیک، پژوهشگاه علوم و فنون هسته‌ای، سازمان انرژی اتمی ایران، صندوق پستی: ۱۱۳۶۵-۸۴۸۶، تهران - ایران

چکیده: بلور LiF پس از تخلیص منطقه‌ای، در ترکیب با پودرهای ناخالصی ساز (MgF_2 ۰.۰۵٪، LiOH ۰.۰۱٪، Li_2CO_3 ۰.۰۵٪) در جو خشک 10^{-3} torr در ۹۹.۹۹٪ در جو خشک 99.95% در ترکیب با ناخالصی سازهای مشابه و با روند یکسان رشد داده شد. هم‌چنین، بلور دیگر LiF از پودر خیلی خالص (99.95%) در ترکیب با ناخالصی سازهای مشابه و با روند یکسان رشد داده شد. بلورهای رشد داده شده، شفاف و بی‌رنگ و بدون ترک و شکستگی به نظر می‌رسیدند. سپس، برای تشکیل مراکز رنگی پایدار F_2^+ -مانند با چگالی بالا و مراکز انبوهی کم، در معرض تابش چند مرحله‌ای از تابش یونیزان گاما قرار گرفتند، و رفتار نوری آنها در دمای اتفاق بررسی شد. حفظ هم‌زمان بیشترین چگالی احتمالی مراکز F_2^+ -مانند در LiF و کوچک بودن غلظت مراکز انبوه، موجب پایداری گرمایی مؤثر این مراکز F_2^+ -مانند و به ویژه کاهش بهره‌ی تشکیل مراکز رنگی نوع بخشنده‌ی الکترونی می‌شود که در نتیجه پایداری نوری بلور تغییر یافته $\text{LiF}:\text{F}_2^+ \rightarrow \text{LiF}:\text{OH}, \text{Mg}$. این تغییرات می‌توانند در محیط لیزر مرکز رنگی خواهد بود. مقایسه‌ی نتایج مشخصات نوری بلورها، هم‌خوانی با نتایج سایرین را نیز نشان می‌دهد. پراش پرتو ایکس به وسیله‌ی دستگاه پراش پرتو ایکس (XRD) تشکیل فاز FCC را تأیید کرد. مقدار ناخالصی منیزیم با استفاده از دستگاه پلاسمای جفت‌شده‌ی القایی (ICP) تعیین شد. ظهور قله‌های مراکز پیچیده‌ی هیدروکسید در اندازه‌گیری طیف جذب فروسرخ از بلورهای رشد داده شده $\text{LiF}:\text{OH}, \text{Mg}$ مشخص شد. در پایان، مشخصات طیف نوری مراکز جدید F_2^+ -مانند در بلورهای $\text{LiF}:\text{OH}, \text{Mg}$ بررسی شدند.

کلیدواژه‌ها: رشد بلور، خواص نوری، تابش یونیزان گاما، لیتیم فلوراید، مراکز رنگی

Single Crystal Growth of LiF with OH⁻ and Mg²⁺ Activators and Evaluation of Optical Characteristics of Color Centers Induced by Ionizing γ - Radiation

Z. Dorriz^{*}, H. Faripour, H. Kalbasi, M. Esmaeilnia, R. Khatiri, E. Jangjoo, N.A. Akbari
Laser and Optics Research School, Nuclear Science and Technology Research Institute, AEOI, P.O.Box: 11365-8486, Tehran – Iran

Abstract: Crystal of LiF were grown by a home-made Czochralski system using MgF_2 (0.05%), LiOH (0.1%) and Li_2CO_3 (0.05%) powders as the impurities after purification by the zone-melting method. Another crystal was also grown with raw materials with the normal purity of 99.995%. The grown crystals were found to be colorless and transparent with no cracks. In order to obtain a high concentration of F_2^+ centers and small concentration of colloids and parasitic aggregate centers, the grown crystals were subjected to the multi-step ionizing irradiation treatments. At the same time, maintaining the highest possible density of F_2^+ -like centers and small cluster centers caused the effective thermal stability of F_2^+ -centers and in particular reduced the formation of the electron color centers which improved the stability of the optical features of the modified $\text{LiF}:\text{F}_2^+ \text{***}$ crystals. As a result, acting as a color center laser medium. A comparing of the features of crystals shows that their optical characteristics are the same as the other samples. The XRD properties of the grown crystals were also investigated for the comparison. They indicated the Faced-Centred Cubic (FCC) structures of the crystals. In addition, the inductively coupled plasma (ICP) analysis was used to measure the Mg^{2+} ion concentration. The emergence of OH^- peaks was specified by a FTIR spectrophotometer. In a long run, the spectroscopic characteristics of the new F_2^+ -centers in $\text{LiF}:\text{OH}, \text{Mg}$ crystals were also studied.

Keywords: Crystal Growth, Optical Properties, Ionizing Radiation, Lithium Floride, Color Centers

*email: zdorriz@aeoi.org.ir

تاریخ دریافت مقاله: ۹۴/۴/۲۴ تاریخ پذیرش مقاله: ۹۵/۳/۷



۱. مقدمه

در بین بلورهای هالید قلیایی، فلورید قلیای خاکی و اکسیدها با مرکز رنگی تجمعی F^- ، محیط‌های تک‌بلور $NaF-Li(F_2^+, F_3^+)$, $NaF(F_2^{**}, F_2^{***})$, $LiF(F_2^+, F_3^+)$ ، سودمندترین عملکرد تابش لیزری قابل تنظیم در دمای کاری اتاق را نشان داده‌اند. مشخصات طیفی مرکز رنگی تجمعی در دمای اتاق توسط باسیف و همکاران ارائه شده است [۵]. این بلورها که گذارهای ارتعاشی ویژه باشدت زیاد را نشان می‌دهند، دارای طول عمر نانوثانیه، نوارهای جذب و گسیل پهن، جایه‌جایی استوکس به حد کافی زیاد برای نوسان لیزر چهار ترازی در دمای اتاق، و بازدهی کوانتموی لومننسانس بالا در دمای تقریبی $k^0 \sim 300^\circ$ هستند.

در این پژوهش، هدف ایجاد مرکز حفره‌ای F_2^+ در بلور LiF و حفظ پایداری نوری این مرکز در دمای اتاق است. پایداری نوری مرکز F_2^+ در دمای اتاق را می‌توان با افزودن ناخالصی ساز مناسب آنیونی یا کاتیونی در هنگام رشد بلور افزایش داد. در این حالت، مرکز نوری F_2^+ جدید در اثر اختلال توسط یون‌های ناخالصی ساز یا مؤلفه‌های تغییر یافته‌ی ناخالصی تشکیل می‌شوند. به طور کلی در یک شبکه‌ی بلور با تناسب عنصری معین، افزودن ناخالصی سازها با توجه به نوع و غلظت آن و رعایت اختلاف کوچک بین شعاع یونی ناخالصی و یون شبکه، موجب می‌شود که جامد بلور با میانگین ثابت شبکه‌ای واحد تشکیل شود. افزودن ناخالصی طبق نظریه‌ی نوار انرژی، به دلیل تشکیل زیرترازهای انرژی در نوار منوعه و نیز تغییر بار ظرفیت در اثر پرتودهی، در مشخصه‌ی نوری و پاسخ بلور در برابر تابش نقش دارد. در نتیجه، انتظار می‌رود تغییراتی در محل تشکیل قله‌ی نوارهای الکترونی جذب و لومننسانس نسبت به قبل از افزودن ناخالصی ساز ایجاد شود که در افزایش بهره‌ی نوری در دمای کاری اتاق نیز مؤثر است [۶].

در این راستا، ابتدا بلور $LiF:OH, Mg$ به روش چکرالسکی رشد داده می‌شود. سپس، سازوکار تابش دو مرحله‌ای در اثر پرتو یونیزان-۷ بر بلور LiF رشددهی شده با ناخالصی‌های خاص O^- و OH^- و کاتیون دو ظرفیتی Mg^{+2} به کار می‌رود. در پایان، با اندازه‌گیری مشخصات مختلف ساختاری و نوری بلور محصول، پایداری نوری مرکز حفره‌ای F_2^+ در دمای اتاق بحث و بررسی، و با نتایج سایرین [۷، ۸] مقایسه می‌شود.

به طور کلی مرکز رنگی، ناشی از تقاضه‌ای نقطه‌ای است. اگر در آرایش منظم اتم‌های بلور ناکاملی ایجاد شود، به طوری که بتواند در یک کره‌ی کوچک محاط شود، نقص نقطه‌ای نامیده می‌شود. غلطت کوچکی از این نقص می‌تواند ویژگی‌های الکتریکی، نوری و مکانیکی بلور را تغییر دهد. ساختار تقاضه‌ای در بلور اغلب ساده است، محیط متقارنی دارد و محاسبات نظری را آسان می‌کند. مطالعه‌ی اثر تقاضه‌ای موجود در ویژگی‌های فیزیکی جامدات، نقش مهم آنها را برای ایجاد مرکز رنگی مشخص کرده است [۱]. این مرکز با ویژگی نوری خود شناخته می‌شوند و به آسانی به یکی از روش‌های شیمیایی، گرمایی و یا در معرض تابش‌های یونیزان تشکیل می‌شوند.

ساده‌ترین مرکز رنگی، مرکز F^- نامیده می‌شود که در آن الکترونی در تهی جای آنیونی در شبکه‌ی بلور یونی به دام افتاده است. وقتی دو مرکز F^- یا تعداد بیشتر تجمع داشته باشند، به ترتیب، مرکز F_2^+ , F_3^+ و F_4^+ تشکیل می‌شوند. برای مثال، در صورت جدا شدن یکی از الکترون‌های به دام افتاده از مرکز تجمعی F_2^+ ، یا به دام افتادن الکترون اضافی توسط این مرکز، به ترتیب مرکز رنگی تجمعی با بار مثبت یا با بار منفی به نام مرکز F_2^- یا F_2^+ در محل مرکز F_2^+ تشکیل می‌شود.

با ایجاد مرکز رنگی در بلورهای یونی، لیزرهای مرکز رنگی متنوعی ساخته شده است. مرکز رنگی در بلورهای یونی، طیف گسترده‌ی جذب و لومننسانس را با پهنه‌ای بیشتر از 1000 cm^{-1} تشکیل می‌دهند. همچنین در میان مرکز نوری مختلف، مرکزی با بهره‌ی کوانتموی بالا و سطح مقطع جذب و لومننسانس بزرگ در عملکرد لیزری وجود دارند. در نتیجه، لیزرهای مرکز رنگی به شکل لیزر حالت جامد قابل تنظیم، با اعتبار و اهمیت بیشتری به کار برده می‌شوند. از این لیزرهای به منظور دمش نوری لیزرهای دیگر در ناحیه‌ی وسیع طیف الکترومغناطیسی (مرئی-UV) و به ویژه $(10, 80\text{ }\mu\text{m})$ بهره‌برداری می‌شوند که اهمیت زیادی در عرصه‌ی علم و فن آوری دارند. همچنین، در این گستره با قابلیت مُدد پیوسته (CW) کاربرد دارند و از بهره‌ی نوری بالا ($\sim 50\text{ W}$) و توان خروجی نزدیک به واحد ($\sim 1\text{ W}$) بهره‌مندند [۴-۲].



خیلی خالص (۹۹.۹۹۵٪) LiF و بدون عناصر سنگین Fe و Ba ، به صورت دو ماده‌ی اولیه برای مرحله‌ی رشد در نظر گرفته شدند.

LiF جامد، در یک سازوکار جداگانه که به روش ذوب منطقه‌ای از ناخالصی‌های سنگین باریم و آهن به ترتیب، ۳۲٪ و ۹٪ برابر تخلیص شده است [۱۵]، به صورت یک ماده‌ی اولیه، بدون ناخالصی‌های سنگین استفاده شد. سپس، پودرهای ناخالصی‌ساز (MgF_2 ٪۰.۰۵، LiOH ٪۰.۱)، LiCO_3 ٪۰.۰۵ با خلوص ۹۹.۹۹٪ تهیه شده از شرکت آزمایشگاهی مرك آلمان در ترکیب با ماده‌ی اولیه که از قبل آماده شده است، در یک بوته‌ی پلاتینی به قطر داخلی ۶۰mm در جو خشک در برابر شارش گاز آرگون قرار گرفت، و برای رشد بلور (#۱) استفاده شد.

هم‌چنین پودر LiF خیلی خالص از مرتبه‌ی ۹۹.۹۹۵٪ یا (۴٪) بدون عناصر سنگین، در ترکیب با ناخالصی‌سازهای مشابه و با نسبت درصد مولی یکسان توزین، و برای رشد بلور (#۲) به صورت ماده‌ی اولیه در نظر گرفته شد.

از کوره‌ی نوع المنت مقاومتی با کنترل کننده‌ی حرارتی استفاده شد. ابتدا محفظه‌ی رشد تا دمای پایین 400°C و به مدت ۲۴h خشک و رطوبت‌زدایی شد. در نهایت، ترکیب ماده‌ی ۲۴h میزان و ناخالصی‌سازها با استفاده از شارش گاز بی‌اثر Ar در دمای بالاتر از نقطه‌ی ذوب LiF (870°C) و نزدیک به 1050°C) به صورت مذاب درآمد. سپس، برای انحلال ترکیب‌های هیدروکسید و اکسیدی در ماده‌ی میزان و تشکیل ماده‌ی مذاب همگن، به ضرورت به مدت تقریبی ۱۲h در این دما نگه داشته شد.

۲.۳ رشد بلور پس از تخلیص منطقه‌ای (#۱) و رشد از پودر خلوص بالا (#۲)

در این مرحله، بلور (#۱) LiF:OH,Mg از ماده‌ی اولیه‌ی جامد LiF خالص سازی شده از عناصر ناخالصی سنگین باریم و آهن، و بلور (#۲) LiF:OH,Mg از ماده‌ی اولیه‌ی پودر LiF خلوص بالا (۹۹.۹۹۵٪) به طور جداگانه بدون ناخالصی عناصر سنگین، در ترکیب با ناخالصی‌سازهای LiOH ، MgF_2 و LiCO_3 و نیز روند رشد یکسان با دستگاه چکرالسکی رشد داده شدند.

۲. معرفی بلور مرکز رنگی LiF:F_2^{+***} با ویژگی پایداری گرمایی-نوری

گاسف (Gusev) برای نخستین بار، تابش لیزری LiF با مراکز F_2^+ را در اثر دمایش لیزر یاقوت سرخ^(۳) به دست آمد. بازدهی لیزری چندان زیاد نبود (۲٪ تا ۶٪)، و کاهش مراکز رنگی F_2^+ در اثر گرمایی در دمای اتاق (300°K) با فرونشانی به مدت ۱۲h، مانع استفاده از این بلور در مدت بیشتر از ۱۲h شد.

برای حل مشکل پایداری گرمایی محیط فعال LiF با مراکز F_2^+ مختل نشده در دمای اتاق، باسیف روش جدیدی برای بهبود مشخصات لیزری LiFF_2^+ در یونش نوری $\text{F}_2^+ \rightarrow \text{F}_2$ پیشنهاد کرد [۱۰، ۹]. گروهی از پژوهشگران روسیه [۱۱، ۱۲]، برای پایدار کردن مراکز F_2^+ در بلورهای اصلی، برخی از ناخالصی‌سازها را به آن افزودند. برای مثال در بلورهای LiF با ناخالصی‌سازی یون‌های هیدروکسید، امکان ایجاد مراکز رنگی OH^+ فراهم می‌شود، و در آن صورت پایداری گرمایی محیط تا دمای 380°C می‌رسد. اما در مقابل، کاهش نسبی در مشخصه‌ی خروجی لیزر مشاهده شد. از آن پس، موضوع تابش لیزری بلورهای LiF شامل مراکز رنگی F_2^+ مختل نشده، در نشریات گوناگونی بررسی شدند [۱۳]، اما هنوز مشکل پایداری اجزای فعال LiF:F_2^+ به طور کامل برطرف نشده است. در این راستا، روشهای برای ایجاد پایداری در تابش لیزری مؤثر بلور LiF:F_2^+ در دمای اتاق و به نام محیط لیزری LiF:F_2^{+***} معرفی شد.

یکی از مهم‌ترین تفاوت‌های موجود میان بلورهای LiF:F_2^{+***} در مقایسه با بلورهای مشابه LiF:F_2^+ ، فناوری تابش چندمرحله‌ای و بهبود رفتار گرمایی در بلورهای با ناخالصی‌سازی ویژه است. فناوری مطرح با حفظ هم‌زمان بیشترین چگالش احتمالی مراکز F_2^+ -مانند در LiF و اتلاف نسبی کم این مراکز، موجب پایداری گرمایی مؤثر مراکز F_2^+ -مانند، به ویژه کاهش بهره‌ی تشکیل مراکز رنگی نوع بخشندۀ الکترونی می‌شود که در نتیجه به طور چشم‌گیری پایداری نوری بلور را نیز در اثر تحریک با تابش لیزر پرقدرت، بهبود می‌بخشد [۱۴، ۱۳].

۳. روش کار و نتایج

۳.۱ آماده‌سازی و تهیه ماده‌ی ناخالصی‌ساز

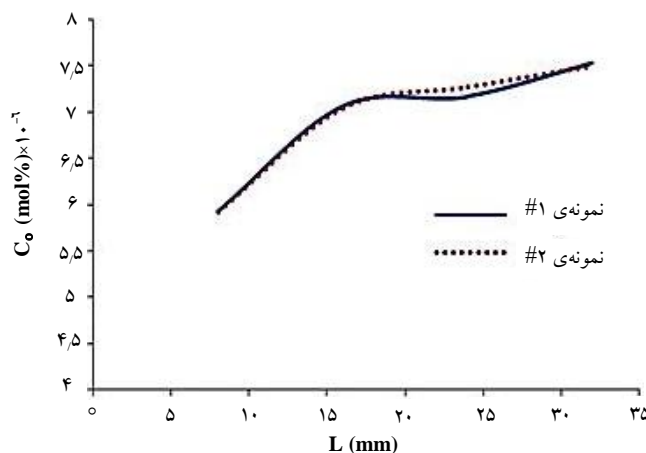
در این پژوهش، LiF جامد پس از خالص‌سازی نسبی از عناصر ناخالصی سنگین Ba و Fe و هم‌چنین پودر LiF



شکل ۱. تصویر دستگاه رشد به روش چکرالسکی (CZ).



شکل ۲. تصاویر نمونه‌ای از بلورهای $\text{LiF}:\text{Mg},\text{OH}$ رشد داده به قطر تقریبی 3cm و طول 4cm (بلور سمت راست) و 6cm (بلور سمت چپ).



شکل ۳. نمودار تغییر غلظت Mg در امتداد بلور #۱ و #۲.

مطابق با روش چکرالسکی (شکل ۱)، سرعت کشش بلور (مرحله گردنی) 11 mm/h و سپس 7 mm/h ، و سرعت دورانی 12 rpm با امکان کشندگی بوته با سرعت 0.2 mm/h تا 0.3 mm/h انتخاب شد. در پایان، هر یک از بلورهای رشد داده شده، در عملیات حرارتی یکسان با آهنگ 60 mm/h تا دمای اتاق سرد شدند. به این ترتیب، برای هر دو نوع نمونه (#۱ و #۲) روند یکسان رشد و نیز عملیات حرارتی و سردسازی یکسان پس از رشد، تا دمای اتاق حاکم بود. شکل ۲، تصاویری از بلورهای رشد یافته را نشان می‌دهد.

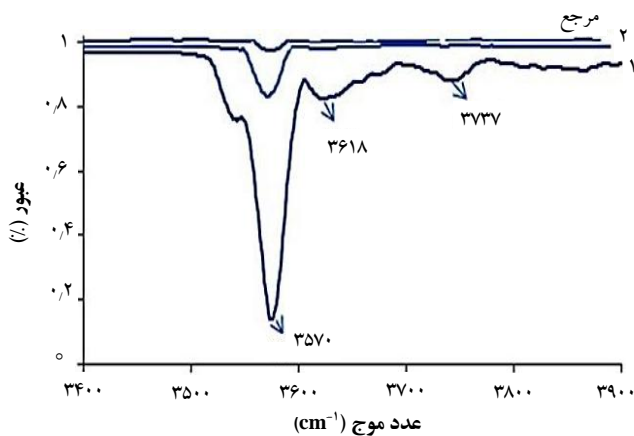
برای ایجاد مراکز رنگی در بلورهای مورد نظر، تابش دهی گاما در دو مرحله به فاصله زمانی یک ماه از هم و در دمای تقریبی 240°K به ترتیب، $2.5 \times 10^3 \text{ C/kg}$ و 250 C/kg انجام شد. سپس مشخصات ساختاری و نوری بلورها برای بررسی پایداری گرمایی و نوری مراکز رنگی ایجاد شده به شرح زیر مقایسه شد.

۳.۳ اندازه‌گیری میزان ناخالصی فعال‌ساز منیزیم
محاسبه‌ی استوکیومتری مواد اولیه و ناخالصی، شرط لازم برای رشد یک تک بلور با مقدار مشخصی از ناخالصی است، اما کافی نیست. زیرا به دلیل وجود ضریب تفکیک (K)، غلظت ناخالصی در طول بلور رشد داده شده از مذاب یکنواخت نیست. ضریب جدایش، با رابطه‌ی (۱) تعریف می‌شود:

$$K = \frac{C_s}{C_l} \quad (1)$$

که در آن K ضریب جدایش، C_s غلظت ناخالصی در مذاب است که برای Mg موجود در بوته در ابتدای رشد برابر با 0.05 درصد مولی، و C_l غلظت ناخالصی در بلور جامد است.

مقدار Mg در برش‌های طولی یکسان در سه مقطع از طول بلور $\text{LiF}:\text{OH,Mg}$ با دستگاه پلاسمای جفت شده‌ی القایی (ICP) مدل Optima-2100 اندازه‌گیری شد. نتایج حاصل در شکل ۳ نشان داده شده است.



شکل ۴. طیف FTIR در بلور LiF بدون افزودن ناخالصی به شکل نمونه مرجع، و مقایسه با نظیر آن در نمونه‌های #۱ و #۲.

۵.۳ تجزیه‌ی ساختاری

ترکیب فازهای نمونه‌ی بلور در دمای اتاق، از طریق ثبت الگوی پراش پودری پرتو ایکس با استفاده از دستگاه پراش پرتو ایکس XRD مدل STADI MP ساخت شرکت STOE با خط طیفی تابش تک رنگ K_{α} مس تعیین شد.

نتایج اندازه‌گیری در مقایسه با کارت استاندارد آنالیز پودر LiF، کد ۱۱۱-۰۰۲-۰۰۰، در منحنی شکل ۵ نشان داده شده است.

۶.۳ طیف‌تگاری عبوری و جذب

بلور #۱ در طیف عبوری در گستره‌ی طول موجی ۵۰۰ تا ۹۰۰ nm، شفافیت نسبی کم‌تری در مقایسه با نمونه #۲ نشان می‌دهد. دلیل آن، تأثیر حضور ناخالصی‌های حاضر در محیط بلور است که در ماده‌ی اولیه به خوبی زدوده شده‌اند (شکل ۶). نمونه #۲ که از پودر اولیه با خلوص بالا رشد داده شده است، شفافیت بیشتری را نشان می‌دهد. اما، تشکیل کمپلکس‌های پیچیده در بلور که در مرحله‌ی عملیات حرارتی در دمای ۵۰۰ تا ۶۰۰°C (دمای پایین‌تر از رنگ‌سازی در روش افزایشی) به مراکز یگانه یا مراکز محدود دوگانه تبدیل نشده‌اند، کماکان به صورت مراکز تجمعی در بلور قرار گرفته‌اند. از سوی دیگر، مراکز نوری مزاحم مانند مراکزی که در دمای اتاق در اثر گرمای خودبه‌خودی یا جذب در گستره‌ی طیف گسیلی ایجاد می‌شود و هم‌چنین، جذب تراز سه‌گانه که در هم‌پوشانی با ناحیه‌ی گسیل قرار دارند، ناگزیر و غیر قابل اجتنابند.

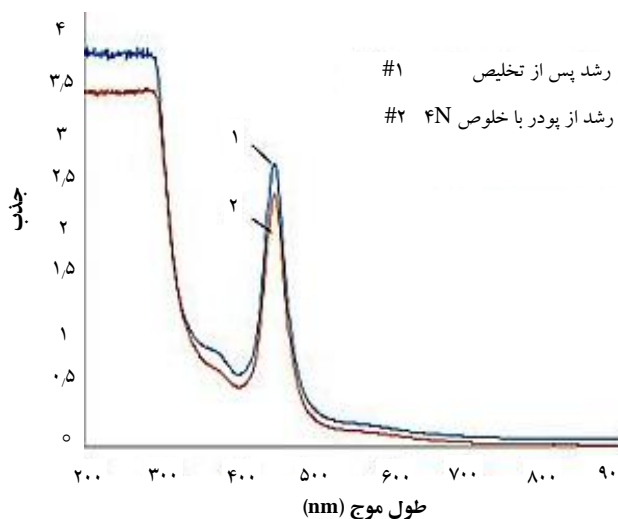
همان‌طور که در این شکل دیده می‌شود، مقدار C_s برای هر منطقه از طول بلور متغیر، و مقدار آن از 0.05 درصد مولی (مقدار اولیه C_1) کم‌تر است. بنابراین با توجه به فرمول، مقدار ضریب ویرایش ΔK است. به عبارت دیگر، ناخالصی موجود در هنگام رشد، همواره از طرف بلور پس زده می‌شوند و C_1 افزایش می‌یابد. به فرض ثابت بودن K ، بدیهی است که مقدار C_s نیز افزایش می‌یابد و درنتیجه شب منحنی غلظت ناخالصی در طول بلور مثبت می‌شود.

هم‌چنین، در این شکل مشاهده می‌شود که توزیع منیزیم در طول بلور (#۱) به خوبی به نتایج بلور (#۲) نزدیک است. بنابراین، در روش ذوب منطقه‌ای، تخلیص عناصر سنگین از جامد LiF، در حد نسبی به طور مناسب انجام شده است.

۶.۴ طیف‌سنجدی

در اندازه‌گیری طیف جذب از بلورهای LiF در ناحیه‌ی فروسرخ که با دستگاه FTIR^(۴) مدل 22 Veator ساخت شرکت Bruker انجام گرفته است، ظهور قله‌ی جذب $\nu_m \sim 3737\text{ cm}^{-1}$ مربوط به ارتعاشات ظرفیتی یون OH^- است که با جای‌گزین شدن فلوراید در محل شبکه‌ای آنیون به دست می‌آید و قله‌های با بیشینه بسامد 3618 cm^{-1} و 3570 cm^{-1} به ترتیب، مربوط به تشکیل مراکز پیچیده $\text{Mg}^{+2}-\text{OH}^-$ و $\text{V}^{+5}-\text{OH}^-$ در بلور است. شکل ۴، ظهور قله‌های مراکز پیچیده‌ی هیدروکسید را در بلورهای رشد داده شده #۱ و #۲ نشان می‌دهد.

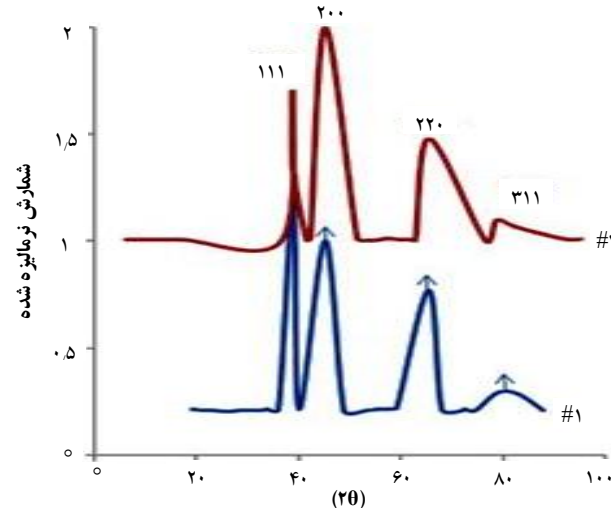
همان‌طوری که مشاهده می‌شود، در بلور #۲ که از پودر خالص LiN_4 رشد داده شده است، قله‌های مراکز پیچیده‌ی یون هیدروکسید، ظاهر نشده است. اما در بلور #۱ که در آن ماده‌ی اولیه محصول تخلیص منطقه‌ای بود، قله‌های ترکیب‌های هیدروکسید به وضوح آشکار می‌شود. این مقایسه نشان می‌دهد اگرچه ناخالصی‌های سنگین باریم و آهن نهفته در جامد LiN_4 پس از تخلیص منطقه‌ای به طور نسبی زدوده شده است، اما لازم است که عبور ماده از منطقه‌ی ذوب به دفعات بیش‌تر انجام شود تا به نتیجه‌ی حاصل از رشد بلور با پودر خالص LiN_4 برسد.



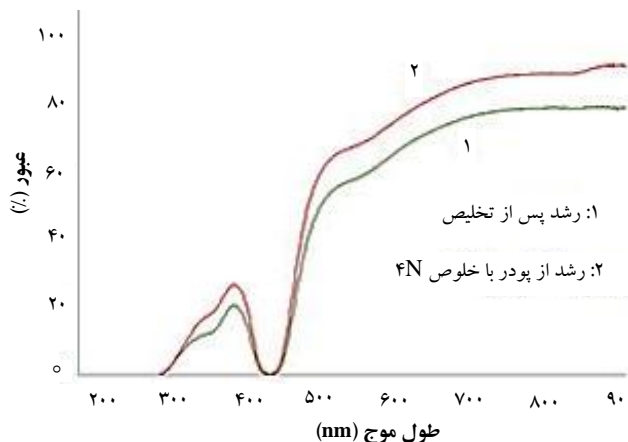
شکل ۲. طیف جذب از دو بلور #۱ و #۲ در ناحیه طول موجی ۲۰۰-۹۰۰ nm پس از دو مرحله‌ی تابش دهی با پرتو یونیزان گاما، با ظهور قله‌ی جذب مرکز F- در طول موج $\sim 443\text{ nm}$ و هم‌چنین قله‌ی جذب مرکز F₂- در طول موج $\sim 460\text{ nm}$.

محل قله‌های جذب مرکز رنگی F- و F₂- به ترتیب، در طول موج‌های ۴۴۳ nm تا ۴۶۰ nm قرار دارد که با نتایج سایرین مطابقت دارد [۵].

۲.۳ اندازه‌گیری طیف لومینسانس
نتایج اندازه‌گیری طیف لومینسانس از بلورهای رشد داده شده با دستگاه فلورومتر Carry-Eclipse در طول موج‌های ۲۰۰ تا ۹۰۰ nm در شکل‌های ۸ و ۹ نشان داده شده‌اند.
از شکل‌های ۸ و ۹، قله‌ی گسیلی F₂: ۵۲۵ nm (قله سمت چپ)، هم‌چنین جایه‌جایی در محل تشکیل قله‌ی گسیلی متناظر با مرکز F₂^{***} مشاهده می‌شود که با ظهور یک قله‌ی ۶۳۳ nm (قله میانی)، با قله‌ی گسیل شده $\sim 720\text{ nm}$ (سمت راست شکل) هم‌پوشانی دارد. این جایه‌جایی و هم‌چنین قله‌ی میانی در شکل، به دلیل اثر اختلال ناخالصی Mg⁺⁺ و تُهی جای کاتیونی در شبکه بلور بر روی مرکز F₂⁺ توصیف می‌شود که با مرجع [۱۲] هم‌خوانی نسبی دارد. از این‌رو، می‌توان نتیجه گرفت که عواملی مانند نوع و غلظت ناخالصی ساز Mg⁺⁺ و OH⁻، تابش دو مرحله‌ای با رعایت توان و دُز تابش و دمای تابش دهی در مرکز F₂^{***}، از نظر گرمایی پایدار، و نوری مؤثر بوده است.



شکل ۵. نمودار پراش تابش-X از بلورهای رشد داده شده: #۱ (پایین شکل) و #۲ (بالای شکل) با مشخصات اندیس‌های میلر.



شکل ۶. طیف عبوری از بلورهای #۱ و #۲ در طول موج ۲۰۰ تا ۹۰۰ nm.

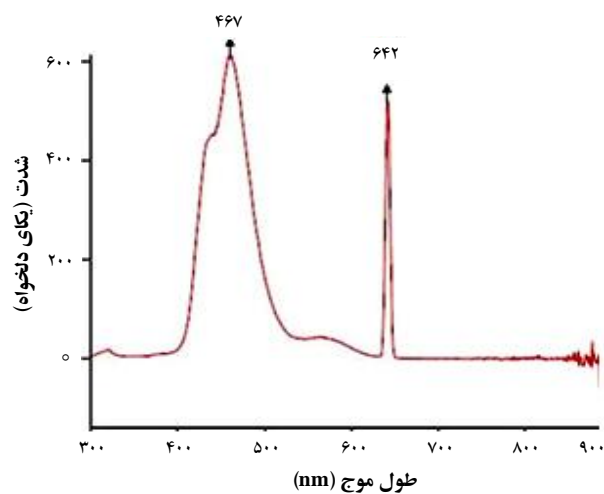
با این وجود، در طول موج‌های سرخ و فروسرخ نزدیک که ناحیه‌ی عملکرد این محیط نوری است، شفافیت بلور بیشتر از ۸۰٪ و مطلوب ارزیابی می‌شود (شکل ۷).

در اندازه‌گیری جذب از دو بلور (#۱) و (#۲) که با طیف‌سنج Carry-100 در طول موج‌های ۲۰۰ تا ۹۰۰ nm انجام شده است، قله‌های جذب متناظر با مرکز رنگی ایجاد شده از تابش یونیزان گاما ظاهر می‌شوند، و در شکل ۷ به صورت مقایسه‌ای نشان داده شده‌اند. تغییر شدت طیف در دو بلور، در اثر مرکز پراکندگی و نابهجه‌ای در بلورها تحت تنش حرارتی پس از رشد و هم‌چنین مرکز تجمعی کمپلکس ایجاد شده در اثر ناخالصی‌های نهفته در ماده‌ی اولیه است که موجب اختلال در پتانسیل پایای مرکز رنگی، و به صورت تفاوت شدت قله در گستره‌ی طول موجی ۴۰۰ nm تا ۵۰۰ nm ظاهر می‌شود.

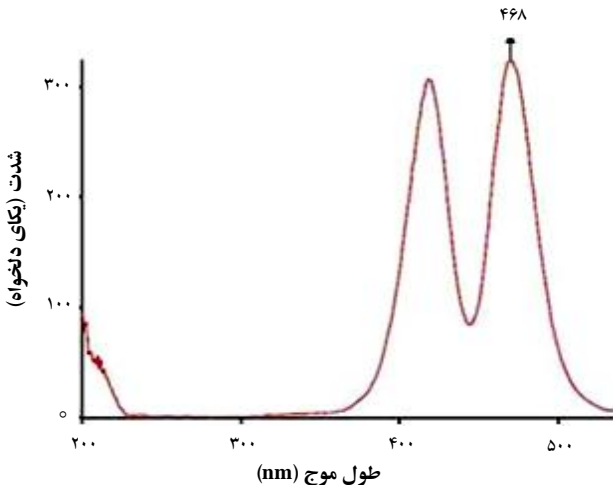


در بلور قرار دارد و انتظار می‌رود در این پدیده تأثیری هر چند کوچک داشته باشد.

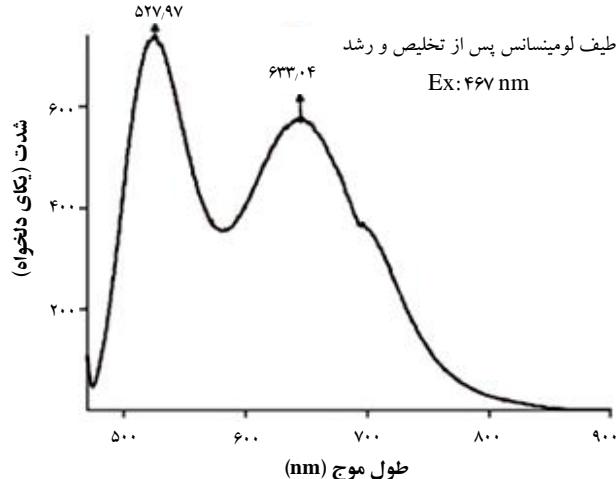
در طیف لومنسانس، استفاده از تابش برانگیخته‌ی تقریبی 467 nm برای مطالعه‌ی مراکز در بلورهای #1 و #2 نشان می‌دهد که هر دو طیف لومنسانس و برانگیزش، پهن شدگی دارند و از جایه‌جایی استوکس محسوس برخوردارند (شکل‌های ۱۰ و ۱۱). در نتیجه بلور رشد داده شده، اثر خودجذبی ندارد و از نظر نوری یک محیط لومنسانس مناسب است.



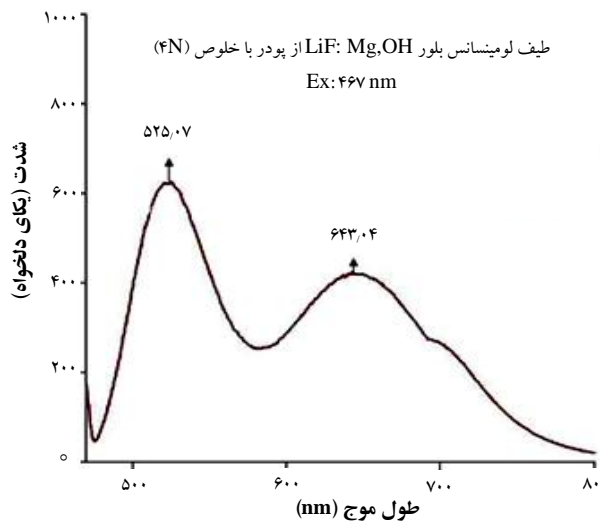
شکل ۸. طیف برانگیزش (Ex.) از نمونه‌ی بلور #1 که در آن قله‌ی لومنسانس در 642 nm و قله‌ی پهن برانگیزش در طول موج مرکزی تقریبی 467 nm را برای مرکز کمپلکس F_2^+ در هم‌پوشانی با F_2^{+**} نشان می‌دهد.



شکل ۱۰. طیف برانگیزش (Ex.) از نمونه‌ی بلور #2 که در آن قله‌ی برانگیزش پهن (در طول موج مرکزی 468 nm) را برای کمپلکس مراکز F_2^+ و F_2^{+**} با جایه‌جایی استوکس مناسب نشان می‌دهد.



شکل ۸. طیف لومنسانس از بلور #1 (پس از تخلیص و رشد بلور $(\text{LiF}: \text{Mg}, \text{OH})$ با ظهور قله‌ی گسیلی مرکز- F_2^- (سمت چپ)، هم‌پوشانی گسیل از مراکز کمپلکس F_2^+ و هیدروکسید (قله‌ی میانی) و قله‌ی گسیلی- F_2^{+**} (سمت راست).



شکل ۹. طیف لومنسانس از بلور #2 از پودر $(\text{LiF}: \text{Mg}, \text{OH})$ (رشد بلور #2 از پودر $(\text{LiF}: \text{Mg}, \text{OH})$ ، با ظهور قله‌ی گسیلی مرکز- F_2^- (سمت چپ)، هم‌پوشانی گسیل از مراکز کمپلکس F_2^+ و هیدروکسید (قله‌ی میانی) و قله‌ی گسیلی- F_2^{+**} (سمت راست).

از سوی دیگر، برای بلور #2 نسبت به #1، جایه‌جایی 10 nm با ظهور قله‌ی متناظر F_2^{+**} مشاهده می‌شود و در تفسیر طیف‌سنگی می‌توان به اثر اختلال نسبی کمتر در ماده‌ی با خلوص بهتر نسبت داد. ناخالصی آلاینده (با توجه به نوع و غلظت آن) در جانشینی و یا بین‌نشینی در محل شبکه‌ای به صورت ترکیب پیچیده با نقایص بلور و یا در مجاورت نقایص نابه‌جایی



هم‌چنین، اثر خلوص ماده‌ی اولیه بر مشخصات طیفی مراکز رنگی ایجاد شده، به طور هم‌زمان در نتایج به دست آمده از دو نوع بلور مقایسه شده‌اند. نمونه‌ای که از خلوص (۴N) رشد داده شد، در مقایسه با نمونه‌ی به دست آمده از فرایند تخلیص در مشخصات جذب، طیف عبوری، لومینسانس و هم‌چنین بهره‌ی نوری از نتایج به مراتب بهتری بهره‌مند است. بنابراین، اگرچه سازوکار تخلیص جامد LiF آزمایشگاهی خلوص پایین (۲N) از عناصر سنگین ناخالص Ba و Fe ارزشمند است، اما مستلزم اجرای مراحل تخلیص بیشتر است تا با خلوص (۴N) برابری کند.

پی‌نوشت‌ها

1. Near Infrared

در تعریف مرکز، F_2^{+*} مرکز حفره‌ای در شبکه‌ی هالید قیلایی با F_2^{+**} ناخالصی سازی کاتیون فلزی از نوع Me^{+*} (مانند Mg^{+*}) است، و مرکز F_2^{+***} در صورتی است که به آن ناخالصی سازی با یون اکسیدی O^{2-} نیز افزوده شود. اغلب، در نوشته‌ها حالت دوم را مرکز F_2^+ -مانند می‌نامند.

3. Ruby

4. Fourier Transform Infrared

۸.۳ اندازه‌گیری بهره‌ی نوری بلور در محیط لیزری

برای اندازه‌گیری بهره‌ی نوری بلورها در تابش لیزر، قطعه‌ای از بلور در راستای بلوری-C برش داده شد و پس از سایش سطوح آن، در معرض تابش لیزر هلیم-نئون قرار داده شد. نتایج به شرح جدول ۱ است.

از آنجا که دو بلور با شرایط تقریبی یکسان نظر سرعت رشد، سرعت چرخش بلور دانه، دمای رشد و هندسه‌ی دستگاه چکرالسکی رشد داده شدند، بنابراین تفاوت در خلوص ماده‌ی اولیه، به تنها یی موجب تغییر مؤثر در نتیجه‌ی بهره‌ی نوری شده است. با اندازه‌گیری توان نور خروجی از هر دو نوع بلور #۱ و #۲، مقادیر بهره‌ی نوری به ترتیب، ۷۷ و ~۰,۸۷ و ~۰,۷۷ به دست آمد که مطلوب و با نتایج دیگر همخوانی دارد [۱۵].

۴. نتیجه‌گیری

افزودن ناخالصی OH^- و Mg^{+} به ماده‌ی میزان در ترکیب‌های مولی (۰,۰۵)، MgF_2 (۰,۰۱)، $LiOH$ (۰,۰۵) و Li_2CO_3 (۰,۰۵) برای هر دو نمونه‌های رشد #۱ و #۲، موجب بقای مراکز رنگی در دمای محیط شد. به عبارت دیگر، عوامل مؤثر در پایداری نوری این مراکز در دمای اتاق، حضور یون فعال‌ساز منیزیم و یون یونیزان گاما، عدم افت بهره‌ی نوری خروجی را نشان می‌دهد. اجرای تابش دو مرحله‌ای در دما، ذر و توان تابشی مناسب برای جلوگیری از تحرک تُهی جای آنیونی و تجمع پذیری دوقطبی‌های ناخالصی - تُهی جای در شبکه، و در نهایت اجتناب از کاهش غلظت مراکز تجمیعی F_2^+ ، رعایت شد که همگی در دست‌یابی و بقای نسبی مراکز فعال نوری F_2^+ در شبکه‌ی بلور LiF مطلوب است. در نتیجه، به عنوان ماده‌ی لومینسانس و یک محیط مرکز رنگی پایدار نوری در دمای اتاق، بلور LiF:OH,Mg می‌تواند کاندید مناسب برای کاربرد محیط لیزر مرکز رنگی باشد.

جدول ۱. مقادیر توان خروجی و اندازه‌ی تقریبی بهره‌ی نوری بلورهای رشد

داده شده با طول موج 632.8 nm

نمونه	توان تابش ورودی بهره‌ی نوری (mW)	توان تابش خروجی (mW)	داده شده با طول موج 632.8 nm
#۱	۴,۴۳	۲,۴۵	۰,۷۷
#۲	۴,۳۵	۳,۸۲	۰,۸۷



- [1] Z. Dorriz, Luminescence Materials, Nuclear Science and Technology Research Institute. AEOI (2013).
- [2] R. Pollock Clifford, Encyclopedia of Laser and optical technology, McGraw-Hill, New York (1992) 9-26.
- [3] A.H. Kittai, Solid state luminescence, Chapman & Hall (1993).
- [4] M. Fox, Optical Properties of Solids, Oxford master series in condensed matter physics (2001).
- [5] T. T. Basiev, S. B. Mirov, V. V. Osiko, Room-temperature color center lasers, *IEEE J. Quantum Elect.* **24** (1988) 1052-1069.
- [6] V. V. Ter-Mikirtychev, Stable room-temperature tunable LiF:F₂⁺color center laser for 830-1060 nm range pumped by the second harmonic radiation from a neodymium laser, *Appl.Opt.* **34** (1995) 6114-6117.
- [7] V. M. Khulugurov and B.D.Lobanov, Laser action in the spectral region of 0.84-1.13 μm in the color center LiF-OH crystal at 300 K, *Sov. Tech. Phys. Lett.* **4** (1978) 595-596.
- [8] T. T. Basiev, S. B. Mirov and V. V. Ter-Mikirtychev, Two-step photoionization and photophysics of color centers in LiF crystals, Solid State Lasers and New Laser Materials, 227, Vyacheslav V.Osiko,(ed.) *Proc. SPIE* **1839** (1992).
- [9] T. T. Basiev, Yu. K. Voron'ko, S. B. Mirov, Kinetics of accumulation and oscillation of F₂⁺ color centers in LiF crystals, Sov. *JETP Lett.* **30** (1979) 626-629.
- [10] T. T. Basiev, P. G. Zverev, Temporal and special characteristics of a tunable LiF: F₂⁻ color center lasers, *Quantum Elect.* **27** (1997) 574-578.
- [11] I. A. Parfianovich, V. M. Julugurov, Luminescence and stimulated emission of color centers in LiF, *Bull. Acad. Sci. USSR, Phys. Ser.* **43** (1979) 20-27
- [12] Schneider, US Patent 4, 519, 082 (1985).
- [13] N.A. Kulagin, Electronic structure of doped and irradiated wide band-gap crystals, Physics of Laser Crystals, NATO Sci. Ser. **126** (1999) 135-162.
- [14] V.V. Fedorov, P.G. Zverev, T.T. Basiev, Broadband lasing and nonlinear conversion of radiation from LiF:F₂⁺ and LiF:F₂⁻ color center lasers, *Quantum Elect.* **31** (2001) 285-289.
- [15] Z. Dorriz, H. Faripour, H. Kalbasi, M. Esmaeil Nia, R. Khatiri, E. Jangjoo, N. Ali akbari, Single Crystal Growth of LiF with (OH⁻, Mg²⁺) Activators and Optical Characteristics of Color Centers Induced by Ionizing γ- Radiation, *Nucl. Sci. Tech. Rep.* PRD-L2-93-002, (2014).